

موقعیت یابی منبع صوت در آرایه میکروفونی با استفاده از روش مثلثاتی جایگزین معادلات هیپربولیک

محمد رضا الهامی^۱، علیرضا عالمی^{۲*}

۱- استادیار ۲- دانشجوی کارشناسی ارشد، گروه مهندسی مکانیک و هوافضا، دانشگاه جامع امام حسین (ع)

(دریافت: ۱۳۹۰/۰۸/۱۲، پذیرش: ۱۳۹۱/۰۴/۲۱)

چکیده

یکی از روش‌های یافتن اهداف متحرک و تهاجمی دشمن، استفاده از دستگاه‌های موقعیت‌یابی است. یافتن موقعیت این اهداف با استفاده از صوت منتشر شده از آنها، یکی از راهکارهای پدافند غیرعامل برای مقابله و پیشگیری از تهاجم دشمن است. این نوع شناسایی به صورت غیرفعال و بدون ارسال سیگنال صورت پذیرفته و روشی ساده برای بازدارندگی و پدافند غیرعامل است. از سیگنال‌های صوتی منتشر شده توسط یک منبع صوتی، می‌توان به وسیله اندازه‌گیری اختلاف زمان دریافت صوت در آرایه میکروفونی، جهت و موقعیت مکانی منبع را تخمین زد. به دلیل وجود فاصله بین میکروفون‌ها در آرایه، صوت با زمان‌های متفاوتی به میکروفون‌ها می‌رسد. روش‌های مختلفی برای تخمین اختلاف زمان دریافت صوت در میکروفون‌ها وجود دارد. مکان هندسی موقعیت منبع صوتی که چنین اختلاف زمانی را به وجود می‌آورد، به صورت یک هذلولی تعریف شده است. موقعیت منبع صوت به وسیله حل مجموعه معادلات غیرخطی حاصل از این هذلولی‌ها، به دست می‌آید. الگوریتم‌های موقعیت‌یابی صوتی عموماً به دنبال حل این معادلات با استفاده از خطی‌سازی و تقارن هندسی هستند. در این تحقیق برای به دست آوردن موقعیت منبع صوت، از روابط مثلثاتی حاصل از تقارن هندسی موجود در آرایه میکروفونی چهار جزئی به جای معادلات هذلولی غیرخطی استفاده شده است. نتیجه‌ها نشان می‌دهد که روش مثلثاتی جایگزین، دارای دقیق‌تری نسبت به روش معادلات پیچیده هیپربولیک است. همچنین بار محاسباتی الگوریتم را نیز بهشت کاوش داده است و نویزپذیری کمتری دارد. میانگین خطای حاصل از نویز در روش هیپربولیک ۱/۱۳ درصد و در روش مثلثاتی ۹/۸ درصد است.

کلیدواژه‌ها: موقعیت‌یابی صوتی، منبع صوت، آرایه میکروفونی، معادلات هیپربولیک، روش مثلثاتی.

Sound Localization in Microphone Array Using Trigonometric Method versus Hyperbolic Equations

M. R. Elhami, A. Alemi*

Department of Mechanical and Aerospace Engineering, Imam Hossein University

(Received: 11/03/2011; Accepted: 07/11/2012)

Abstract

Localization systems are usually used for detecting moving and offensive targets of enemy. The sound localization, however, is one of the main approaches in passive defense which has an impending role to aggression of enemy. This kind of localization method is carried out in a passive way, without emission of any signals and cannot be detected easily. The acoustic signals emitted by a sound source are used to detect its position. Sound source localization is estimated by measuring the time difference of sound from the microphone array. Due to the distance between the microphones in an array, sound reaches the microphone with shifting times. There are many various methods for estimating this time difference of the sound. The locus of sound source position creates a series of hyperbolic; and the source location is obtained by solving a set of nonlinear equations of these hyperbolic. Sound positioning algorithms generally solve these equations by linearization and geometric symmetry. In this study, instead of nonlinear hyperbolic equations, the trigonometric relations of geometric symmetry in a four microphone array are used to obtain the position of sound source. The results show that the trigonometric method is more accurate and less sensitive to noise as well as lower computation load, compared to the sophisticated hyperbolic equations. The mean error induced by noise is about 8.9% and 13.1% in the trigonometric and hyperbolic method respectively.

Keywords: Sound Localization, Sound Source, Microphone Array, Hyperbolic Equations, Trigonometric Method.

* Corresponding author E-mail: Alemi.ar@gmail.com

Passive Defence Sci. & Tech. 2012, 2, 139-144

۱. مقدمه

داده‌اند. آنها برای موقعیت هذلولی، راه حلی را ارائه دادند که هم برای فاصله‌های نزدیک و هم برای فاصله‌های دور معتبر است.

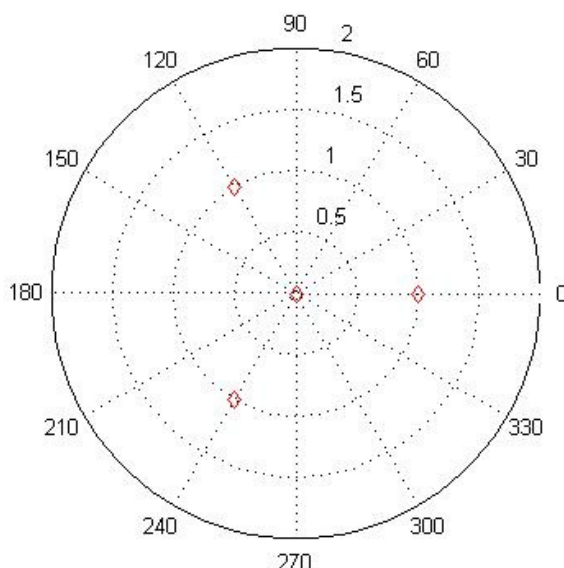
این معادلات غیرخطی و راه حل آن، بسته به هندسه و تعداد میکروفون‌های موجود در آرایه میکروفونی، متفاوت است و در نوشته‌های مختلفی مورد بحث قرار گرفته است [۱۰-۱۲].

در این تحقیق به جای حل معادلات غیرخطی و مشخص کردن مختصات منبع صوت در مرحله دوم، از روابط مثلثاتی استفاده شده است.

برای به دست آوردن تأخیر زمانی در سیگنال‌های صوتی، از روش‌های مختلفی استفاده می‌شود. در این کار از روش همبستگی مقابل استفاده شده است [۱۱].

۳. آرایه میکروفونی

آرایه تعریف شده در این کار متشکل از چهار میکروفون است. در این آرایه میکروفون اول در مرکز سیستم مختصاتی واقع شده است و سه میکروفون دیگر با زاویه 120° نسبت به یکدیگر و با فاصله یکسان (۱۵ متر) نسبت به میکروفون مرکزی قرار دارند (شکل ۱).



شکل ۱. موقعیت قرار گرفتن چهار میکروفون در آرایه میکروفونی

با قرار گرفتن منبع صوت در هر نقطه‌ای پیرامون آرایه میکروفونی، با توجه به سیگنال صوتی دریافت شده و تأخیرهای زمانی دریافتی ناشی از آن و با استفاده از روابط مثلثاتی، موقعیت منبع صوت مشخص می‌شود.

بر اساس هندسه آرایه، محیط پیرامون آرایه به سه منطقه کلی تقسیم می‌شود. اگر مرز بین این محدوده‌ها هم به عنوان موقعیت‌های خاص در نظر گرفته شود، در نهایت با ۶ رابطه هندسی و مثلثاتی موقعیت منبع مشخص می‌شود (شکل ۲).

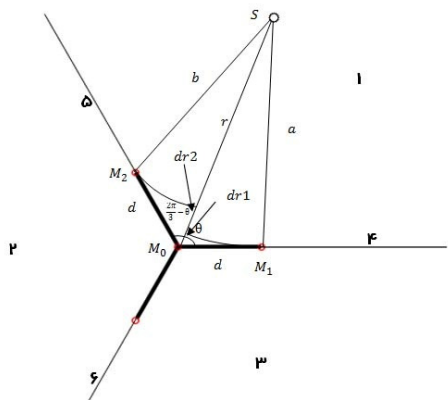
از سیستم‌های شناسایی صوتی در وسایل کوچک دستی شناسایی، موقعیت‌یابی وسایل نقلیه [۱]، سیستم‌های نظارت بر وسایل نقلیه [۲]، روبات‌ها [۳] و شبکه حسگرها [۴] و ... استفاده می‌شود. علاوه بر آن برای یافتن موقعیت تپخانه، محل کمین تک تیرانداز و موقعیت اهداف متحرک از زمان جنگ می‌شود. اما آن‌چه این روش‌ها و سیستم‌های شناسایی را از وسایل مدرن الکترونیکی دفاعی مثل راډارها و سونارها تمایز می‌سازد، حالت غیر فعال و نامحسوس آنهاست. به این معنی که این گونه سیستم‌ها اغلب بدون ارسال سیگنالی و تنها به صورت غیر فعال فقط صوت را شنیده و سلاح در آن جهت فعل می‌شود. این سیستم‌ها به دلیل این که هیچ سیگنالی را منتشر نمی‌کند، به وسیله دستگاه‌های کشف الکترونیکی نیز قابل ردیابی نیستند. همین ویژگی مهم کافی است که این گونه سیستم‌های شناسایی در رده مهم‌ترین عوامل بازدارنده در پیشگیری از حمله ناگهانی دشمن قرار گرفته و یکی از راهکارهای کارا و مفید در پدافند غیرعامل قلمداد گردد.

برای تخمین موقعیت منبع صوت در فضای دو بعدی، حداقل باید از سه میکروفون برای به دست آوردن دو تأخیر زمان در دریافت صوت و حل دقیق معادلات، استفاده نمود [۵]. افزایش تعداد میکروفون‌ها و استفاده از داده‌های اضافه می‌تواند دقت تخمین را بهبود بخشد [۷] و [۶]. اما افزایش تعداد میکروفون‌ها برای رسیدن به یک تخمین مناسب، به افزایش تعداد و هزینه تجهیزات، مصرف انرژی بیشتر و حل معادلات پیچیده برای رفع ابهامات و حذف جواب‌های نادرست نیاز دارد. در این پژوهه از آرایه میکروفونی چهار جزوی برای موقعیت‌یابی منبع صوت در محیط دو بعدی استفاده شده است.

۲. موقعیت‌یابی منبع صوت

الگوریتم‌های موقعیت‌یابی منبع صوت به طور معمول به این صورت هستند:

- گروه‌بندی میکروفون‌ها به زوج‌های میکروفونی،
- تخمین تأخیر زمان دریافت صوت بین میکروفون‌ها برای هر زوج، به وسیله استفاده از روش‌های تخمین تأخیر زمانی،
- پیدا کردن یک الگوریتم برای حل غیرمهم مجموعه‌ای از معادلات هیبریولیک غیرخطی، ناشی از تأخیرهای زمانی تخمین زده شده. (پیدا کردن نقطه‌ای که تمام هذلولی‌های حاصل از تأخیرهای زمانی، بیشترین نزدیکی را دارند).
- راه حل تولید شده به وسیله این الگوریتم منجر به تخمین موقعیت منبع صوت می‌شود [۸]. بر اساس این دیدگاه، تخمین‌های مختلفی در مقالات دیده می‌شود [۹ و ۱۵]. به طور کامل در رابطه با سیستم‌های موقعیت‌یابی هذلولی بحث کرده‌اند. آنها روش‌های مؤثری را برای موقعیت‌یابی منبع صوت مبتنی بر تقاطع منحنی هذلولی‌های تعریف شده، به وسیله تأخیر زمان دریافتی در میکروفون‌ها، پیشنهاد



شکل ۳. نمایش موقعیت منبع صوت و روابط هندسی بین منبع صوت و میکروفونها

با نوشتن رابطه مثلثاتی کسینوس‌ها برای دو مثلث به دست آمده بین منبع صوت و زوج‌های میکروفونی، دو رابطه زیر به دست می‌آید:

$$(d^2) + (r^2) - (2 \times r \times d \times \cos(\theta)) = a^2 \quad (2)$$

$$(d^2) + (r^2) - \left(2 \times r \times d \times \cos\left(\frac{2\pi}{3} - \theta\right) \right) = b^2 \quad (3)$$

در روابط بالا، a و b فاصله بین منبع صوت تا میکروفون‌های M_1 و M_2 و r فاصله بین منبع صوت تا میکروفون مرکزی M_0 است. D عبارت است از فاصله بین میکروفون‌ها با مقداری معلوم. با استفاده از روش همبستگی متقابل، تأخیرهای زمانی بین میکروفون‌ها TD_{20} و TD_{10} ، به دست می‌آید. ضرب مقدار سرعت صوت در مقادیر تأخیرهای زمانی، فاصله طی شده توسط صوت بعد از برخورد به میکروفون‌های a و b تا میکروفون مرکزی را مشخص می‌نماید:

$$dr1 = TD_{10} * V \quad (4)$$

$$dr2 = TD_{20} * V \quad (5)$$

فاصله طی شده توسط صوت بعد از رسیدن به میکروفون اول (M_1)، تا رسیدن به میکروفون مرکزی (M_0)، عبارت است از $dr1$ و فاصله طی شده توسط صوت بعد از رسیدن به میکروفون دوم (M_2)، تا رسیدن به میکروفون مرکزی (M_0)، عبارت است از $dr2$. از این رو داریم:

$$r = a + dr1 \Rightarrow a = r - dr1 \quad (6)$$

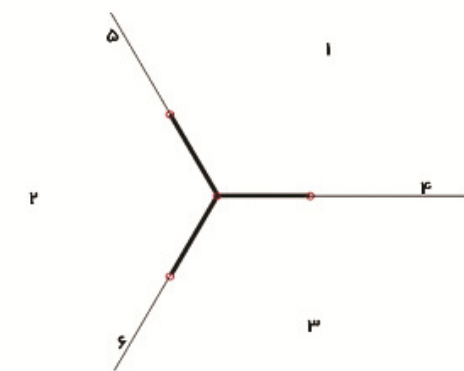
$$r = b + dr2 \Rightarrow b = r - dr2 \quad (7)$$

با قرار دادن مقدار a از رابطه (6) در رابطه (2) و همچنین با قرار دادن مقدار b از رابطه (7) در رابطه (3) و پس از ساده سازی و مرتب کردن عبارات، روابط زیر حاصل می‌شود:

$$(d^2) - (dr1^2) + (2 \times r \times dr1) - (2 \times r \times d \times \cos(\theta)) = 0 \quad (8)$$

$$(d^2) - (dr2^2) + (2 \times r \times dr2) - \left(2 \times r \times d \times \cos\left(\frac{2\pi}{3} - \theta\right) \right) = 0 \quad (9)$$

در معادلات (8) و (9)، r و θ مجهول و مقادیر d و $dr1$ و $dr2$ معلوم هستند. با حل هم‌زمان این دو رابطه نسبت به مجهولات r و θ مقادیر r و θ حاصل می‌شود.



شکل ۲. تقسیم محیط پیرامون آرایه میکروفونی به ۶ وضعیت مختلف برای تعیین موقعیت منبع صوت

موقعیت منبع صوت در هر یک از این محدوده‌های شش‌گانه، دارای روابط هندسی مشخصی است.

مختصات تعریف شده برای این آرایه میکروفونی، مختصات قطبی است. موقعیت میکروفون‌ها به این شکل مشخص شده است:

$$M_2(d, 0), M_1(d, 0), M_0(0, 0).$$

موقعیت منبع صوت به صورت $S(r, \theta)$ که جهت زاویه به صورت پادساعت گرد است، تعریف می‌شود.

با استفاده از این چهار میکروفون، سه زوج میکروفونی تشکیل داده می‌شود. با به دست آوردن تابع همبستگی متقابل برای زوج‌های میکروفونی M_{30}, M_{20}, M_{10} ، اختلاف زمان دریافتی برای هر زوج میکروفونی به ترتیب به صورت $TD_{30}, TD_{20}, TD_{10}$ حاصل می‌شود:

$$TD_{ij} = T_i - T_j \quad (1)$$

با قرار گرفتن موقعیت منبع صوت در هر نقطه‌ای پیرامون آرایه میکروفونی، تأخیرهای زمانی دریافتی ناشی از سیگنال صوتی تخمین زده می‌شود و با استفاده از روابط مثلثاتی، موقعیت منبع صوت تخمین زده می‌شود.

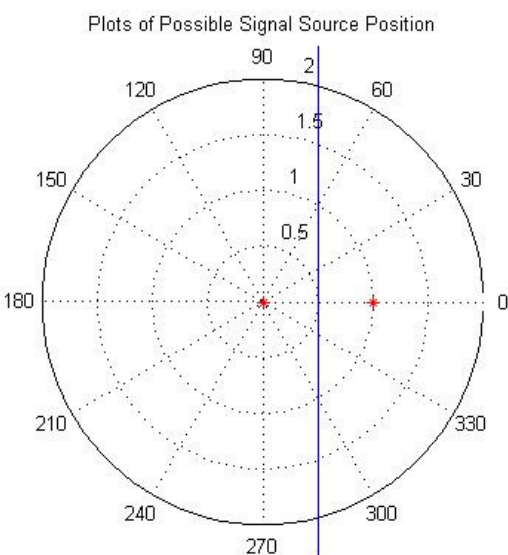
هندسه آرایه و بهویژه تقارن موقعیت میکروفون‌ها در نوع معادلات و حجم پردازش لازم برای حل آن، بسیار مؤثر است. به دلیل وجود تقارن در سه جهت مختلف در این آرایه، بسیاری از محدودیت‌های موجود در آرایه‌های خطی و L شکل برطرف شده است.

۴. تعیین موقعیت منبع صوت

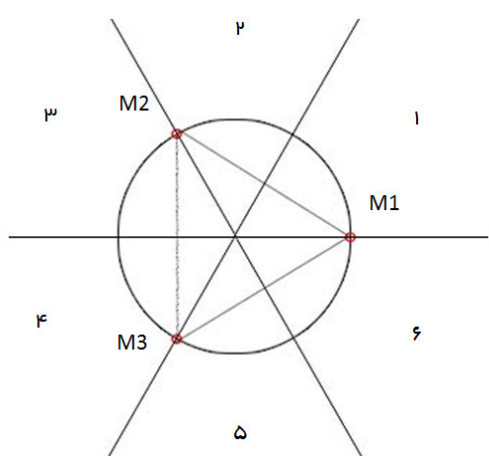
به دلیل تشابه و تقارن موجود در آرایه، دو وضعیت کلی برای موقعیت قرارگیری منبع صوت در نظر گرفته می‌شود. حالت اول قرارگیری منبع صوت در محدوده ۱-۳ است و حالت دوم قرارگیری منبع صوت در محدوده این میانی است.

اگر منبع صوت در محدوده ۱ قرار داشته باشد، موقعیت منبع صوت به این صورت به دست می‌آید (شکل ۳):

- ۲ در صورتی که $TD_{21} < 0$ و $TD_{31} > 0$ باشد، محدوده موقعیت منبع صوت عبارت است از $(\pi/3, 2\pi/3)$.
 - ۳ در صورتی که $TD_{31} < 0$ و $TD_{23} > 0$ باشد، محدوده موقعیت منبع صوت عبارت است از $(2\pi/3, \pi)$.
 - ۴ در صورتی که $TD_{21} < 0$ و $TD_{23} > 0$ باشد، محدوده موقعیت منبع صوت عبارت است از $(\pi, 4\pi/3)$.
 - ۵ در صورتی که $TD_{31} < 0$ و $TD_{21} > 0$ باشد، محدوده موقعیت منبع صوت عبارت است از $(4\pi/3, 5\pi/3)$.
 - ۶ در صورتی که $TD_{31} < 0$ و $TD_{23} > 0$ باشد، محدوده موقعیت منبع صوت عبارت است از $(5\pi/3, 2\pi)$.
- با استفاده از این روابط می‌توان از مقادیر θ و φ رفع ابهام کرد و موقعیت دقیق منبع صوت را مشخص کرد.



شکل ۴. مکان هندسی موقعیت منبع صوت با اختلاف زمانی صفر (محور خنثی)



شکل ۵. تقاطع محورهای خنثی در آرایه میکروفونی و تقسیم محیط پیرامون آرایه میکروفونی به ۶ وضعیت مختلف برای تعیین موقعیت منبع صوت

با توجه به هندسه مسئله، برای بررسی صحت جواب شرط زیر بررسی می‌شود:

$$0 < \theta < 2\pi/3 \quad (10)$$

موقعیت منبع صوت در دیگر محدوده‌های تعریف شده در شکل (۲)

نیز با همین روش مشخص می‌شود. برای رفع ابهام از مقادیر θ و φ علاوه بر رابطه (۱۰)، از روابط بین مقادیر اختلاف زمان دریافتی استفاده می‌شود.

۵. رفع ابهام از موقعیت منبع صوت

در هر زوج میکروفون، یکی از میکروفون‌ها به عنوان مرجع انتخاب شده و اختلاف زمان دریافت صوت، نسبت به آن مشخص می‌شود. در هر زوج میکروفون، مقدار اختلاف زمانی می‌تواند یکی از سه حالت مثبت، منفی یا صفر باشد. اگر زمان دریافت صوت در دو میکروفون یکسان باشد، اختلاف زمان دریافت صوت برابر صفر است. به این معنا که صوت منتشر شده از منبع صوت، فاصله یکسانی را برای رسیدن به دو میکروفون طی می‌کند؛ از این رو منبع صوت بر روی خط عمود بر محور میکروفون‌ها قرار خواهد داشت (شکل ۴).

این محور را که مرز بین اختلاف زمانی مثبت و منفی است؛ محور خنثی می‌نامیم. از این رو برای هر زوج میکروفونی، یک محور خنثی قابل تعریف است.

اگر میکروفون ۱ به عنوان مرجع اندازه‌گیری اختلاف زمان دریافت صوت در زوج میکروفون M_{12} در نظر گرفته شود؛ در صورتی که اختلاف زمان دریافت صوت TD_{21} (اختلاف زمان دریافت صوت در میکروفون ۲ نسبت به میکروفون ۱) مثبت باشد ($TD_{21} > 0$)، منبع صوت در سمت چپ محور خنثی (نزدیک به میکروفون ۱) قرار خواهد داشت؛ یعنی صوت، فاصله بیشتری را برای رسیدن به میکروفون ۲ نسبت به میکروفون ۱ طی خواهد کرد؛ و اگر اختلاف زمان دریافت صوت، منفی باشد ($TD_{21} < 0$)، منبع صوت در صفحه سمت راست محور خنثی قرار خواهد داشت. به این معنا که صوت ابتدا به میکروفون ۲ و سپس به میکروفون ۱ می‌رسد.

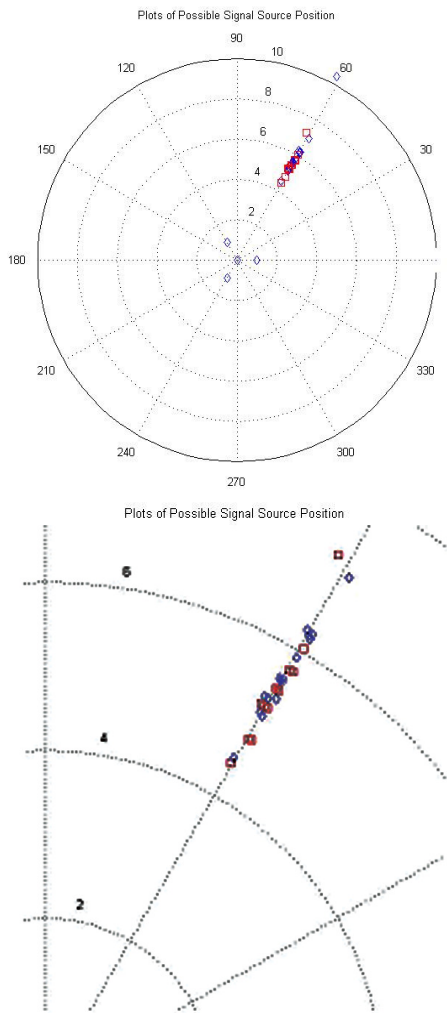
با توجه به تعریف θ_{ij} می‌توان نتیجه گرفت که:

$$TD_{ij} = -TD_{ji} \quad (11)$$

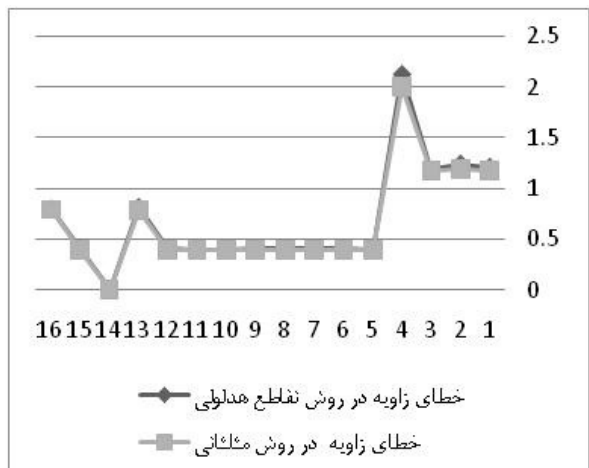
این کار را می‌توان برای تمام زوج‌های میکروفونی موجود در آرایه، انجام داد و با استفاده از تقاطع محورهای خنثی، محیط پیرامون آرایه را بر اساس علامت (نه بزرگی) اختلاف زمان دریافت صوت، تقسیم نمود. با توجه به تغییرات علامت تأخیرهای زمان دریافتی، ۶ محدوده برای موقعیت منبع صوت به دست می‌آید که هر کدام از این قسمت‌ها یک بازه زاویه ۶۰ درجه‌ای برای موقعیت منبع صوت است (شکل ۵). موقعیت منبع صوت بر اساس علامت تأخیرهای زمانی دریافت صوت به صورت زیر مشخص می‌شود:

- ۱ در صورتی که $TD_{21} < 0$ و $TD_{23} < 0$ باشد، محدوده موقعیت منبع صوت عبارت است از $(0, \pi/3)$ ،

برد به دست آمده برای منبع (۲) نشان می‌دهد که خطای به وجود آمده در روش مثلثاتی، کمتر از خطای روش تقاطع هذلولی است. از این رو این الگوریتم حساسیت کمتری به نویز از خود نشان می‌دهد.



شکل ۶. نتیجه‌های حاصل از تکرار روش‌های هیپربولیک و مثلثاتی با وارد کردن نویز به سیستم



شکل ۷. مقایسه عملکرد روش‌های تقاطع هذلولی و مثلثاتی در پیدا کردن راستای منبع صوت با وجود خطای ناشی از نویز یکسان با $SNR = 10$ برابر محور افقی: تعداد آزمایش‌ها؛ محور عمودی: درصد خطای زاویه‌ای

۶. شبیه‌سازی و مقایسه عملکرد روش‌های مثلثاتی و تقاطع هذلولی (هیپربولیک)

با استفاده از نرم‌افزار Matlab الگوریتم‌های به دست آمده از هر دو روش مثلثاتی و هیپربولیک شبیه‌سازی شده است. برای یک مقایسه صحیح و دقیق این دو روش، داده‌های استفاده شده در این تحقیق از یک پروژه در دانشگاه Rice گرفته شده است. داده‌های تولید شده توسط منبع صوت به وسیله یک آرایه چهار میکروفونی دریافت شده و سپس الگوریتم‌های هذلولی و مثلثاتی برای تعیین اختلاف زمانی اعمال شده است. در این آرایه Y شکل، فاصله میکروفون‌ها ۱ متر است.

در این الگوریتم‌ها، چهار فایل صوتی به دست آمده از آرایه چهار میکروفونی، به عنوان ورودی دریافت می‌شود. با استفاده از روش همبستگی متقابل، اختلاف زمان دریافت بین این ورودی‌ها مشخص شده است. پس از این مرحله، موقعیت منبع صوت از دو روش تقاطع هذلولی (هیپربولیک) و مثلثاتی به دست می‌آیند. در روش هیپربولیک از مختصات کارتزین و در روش مثلثاتی از مختصات قطبی استفاده شده است و در آخر نتیجه‌های هر دو روش به مختصات قطبی به صورت θ در π در آمده و با هم مقایسه می‌شوند.

برای مقایسه عملکرد این دو روش در شرایط واقعی، نویز نرمال یکسانی با نسبت سیگنال به نویز (SNR) برابر ۱۰ به صورت تصادفی، به ورودی هر دو الگوریتم اضافه شده است. برای بررسی تکرار پذیری نتیجه‌ها، با توجه به اینکه تابع نویز به صورت تصادفی به دست آمده و به بردارهای صوتی اضافه می‌شوند، الگوریتم‌ها را ۲۰ مرتبه تکرار کرده و میانگین نتیجه‌ها با هم مقایسه شده است (شکل ۶).

در شکل (۶) نقاط دایره‌ای شکل، نشان دهنده نتیجه‌های حاصل از روش هیپربولیک و نقاط مربع شکل نشان دهنده نتیجه‌های حاصل از روش مثلثاتی است.

نتیجه‌های حاصل از این شبیه‌سازی نشان می‌دهد که با اضافه شدن نویز به بردارهای صوتی در ۲۰ مرتبه تکرار حلقه، الگوریتم در ۴ مرتبه توانایی پیدا کردن اختلاف زمان دریافتی و در نتیجه پیدا کردن مختصات را بر اساس نویز اعمال شده ندارد و در ۱۶ مرتبه اختلاف زمانی را برای بردار صوتی تخمین می‌زند. نتیجه‌های حاصل از موقعیت‌یابی بر اساس این اختلاف‌های زمانی در روش‌های تقاطع هذلولی و مثلثاتی در جدول (۱) نشان داده شده است.

میزان میانگین خطای حاصل از وجود نویز یکسان در روش تقاطع هذلولی ($13/420.5$ درصد) بیش از میزان خطای روش مثلثاتی ($8/911.6$ درصد) است.

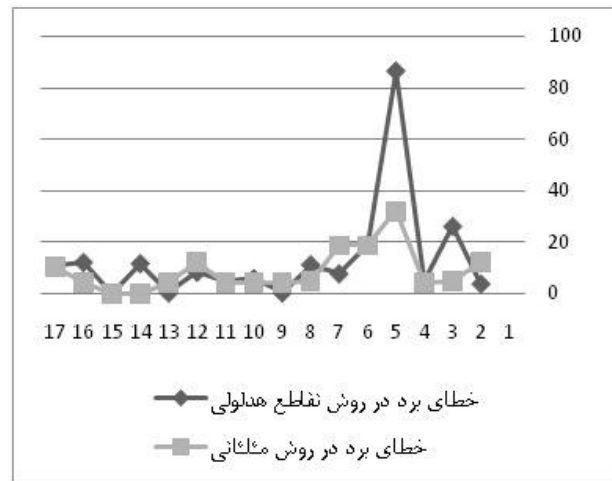
مقایسه نتیجه‌های این دو روش نشان می‌دهد که اضافه شدن نویز به سیستم، در مقدار ۲ (برد)، چندین برابر π (جهت) خطای به وجود می‌آورد. از طرفی، میزان خطای به وجود آمده در تخمین راستای (زاویه) منبع صوت، نزدیک به صفر است و نتیجه‌های به دست آمده در هر دو روش بر هم منطبق هستند (شکل های ۷-۸). میزان خطای به وجود آمده در نتیجه‌های این دو الگوریتم در میزان

خطای حاصل از آن، مشخص شد که روش مثلثاتی حساسیت کمتری به وجود نویز نسبت به روش هیپربولیک از خود نشان می‌دهد. برای بررسی تکرار پذیری نتیجه‌ها، نویز ورودی به صورت تصادفی و البته با نسبت سیگنال به نویز یکسان تولید شده و در ۲۰ مرتبه به الگوریتم وارد شده است. میانگین خطای حاصل از این نویز در روش هیپربولیک $13/4205$ درصد) به مراتب بیشتر از میزان خطای روش مثلثاتی ($8/9116$ درصد) است. همچنان اضافه شدن نویز به سیستم، در مقدار ۲ (برد)، خطای بیشتری نسبت به θ (راستا) به وجود می‌آورد. از طرفی میزان خطای به وجود آمده در تخمین راستای منبع صوت، نزدیک به صفر است ($0/06$ درصد) و هر دو روش مقاومت مناسبی به حفظ راستا از خود نشان می‌دهند.

میزان خطای راستا، در هر دو روش تقریباً با هم برابر است ($0/6851$ درصد در روش هیپربولیک و $0/6637$ درصد در روش مثلثاتی). در نهایت می‌توان چنین نتیجه گرفت که روش مثلثاتی با وجود نویز نسبت به روش هیپربولیک خطای کمتری از خود نشان می‌دهد و برای استفاده در شرایط واقعی مناسب‌تر است.

۸. مراجع

- [1] Staras, H.; Honickman, S. N. "The Accuracy of Vehicle Location by Trilateration in a Dense Urban Environment."; IEEE Transaction on Vehicular Technology 1972, 21, 38–44.
- [2] Turin, J. W. S.; Johnston, G. L. "Simulation of Urban Vehicle Monitoring Systems."; IEEE Transaction on Vehicular Technology 1972, 21, 9–16.
- [3] Hebert, M.; Drulhe, S. "Source Localization for Distributed Robotic Teams."; Robotics Institute of Carnegie Mellon University, 2002.
- [4] Dalton, B. C. "Audio-based Localization for Ubiquitous Sensor Networks."; Master's Thesis, Massachusetts Institute of Technology, 2005.
- [5] Chan, Y. T. "A Simple and Efficient Estimator for Hyperbolic Location."; IEEE Trans. on Signal Processing, 1994, 42, 1905–1915.
- [6] Silverman, W. R. P. H. F.; Flanagan, J. L. "The Huge Microphone Array (hma)-part i."; IEEE Transactions on Concurrency 1998, 6, 36–46.
- [7] Silverman, W. R. P. H. F.; Flanagan, J. L. "The Huge Microphone Array (hma)-part ii."; IEEE Transactions on Concurrency 1999, 7, 32–47.
- [8] Minero, P. "State of the Art on Localization and Beam Forming of an Acoustic Source."; Summary of Localization Techniques, 2004.
- [9] Chan, Y. T.; Ho, K. C. "An Efficient Closed-form Localization Solution from Time Difference of Arrival Measurements."; IEEE, 1994, 2, 393–396.
- [10] Rabinkin, B. M. H. "A Dsp Implementation of Source Location Using Microphone Arrays."; Journal of Acoustical Society of America 1996, 2503–2529 , 99.
- [11] Knapp, G. C.; Carter, C. H. "The Generalized Correlation Method for Estimation of Time Delay."; IEEE Transactions on Acoustics, Speech and Signal Processing 1976, 24, 320–327.
- [12] Omologo, M.; Svaizer, P. "Acoustic Event Localization Using a Crosspower-Spectrum Phase Based Technique."; Proceeding of IEEE International Conference on Acoustics, Speech, and Signal Processing (ICASSP'94) 1994, 2, 273–276.



شکل ۸. مقایسه عملکرد روش‌های تقاطع هذلولی و مثلثاتی در پیدا کردن برد منبع صوت با وجود خطای ناشی از نویز یکسان با $SNR = 10$ درصد خطای برد محور افقی: تعداد آزمایش‌ها؛ محور عمودی: درصد خطای برد

جدول ۱. مقایسه نتیجه‌های حاصل از ۱۶ مرتبه موقعیت‌یابی در روش‌های تقاطع هذلولی و مثلثاتی

مرتبه	خطای برد در روش تقاطع هذلولی (dB)	خطای برد در روش مثلثاتی (dB)
۱	۱/۱۶۸۰	۱/۲۰۸۱
۲	۱/۱۸۲۹	۱/۲۳۹۶
۳	۱/۱۷۵۲	۱/۱۸۱۶
۴	۱/۹۹۹۶	۲/۱۲۱۱
۵	۰/۳۸۷۱	۰/۳۸۹۳
۶	۰/۳۸۷۱	۰/۴۰۶۱
۷	۰/۳۹۴۳	۰/۴۰۲۱
۸	۰/۳۹۱۷	۰/۳۹۹۵
۹	۰/۳۹۱۷	۰/۴۰۵۱
۱۰	۰/۳۹۱۷	۰/۳۹۳۹
۱۱	۰/۳۸۹۳	۰/۳۹۷۱
۱۲	۰/۳۹۱۷	۰/۳۹۹۵
۱۳	۰/۷۸۶۰	۰/۸۱۲۷
۱۴	.	.
۱۵	۰/۳۹۱۷	۰/۴۱۰۷
۱۶	۰/۷۹۱۲	۰/۷۹۵۵
میانگین خطای برد در روش تقاطع هذلولی	۰/۶۶۳۷	۰/۶۸۵۱
میانگین خطای برد در روش مثلثاتی	۱/۳۹۱۶	۱/۳۹۱۶
میانگین خطای برد در دو روش هیپربولیک و مثلثاتی (درصد)	۱۳/۴۲۰۵	۱۳/۴۲۰۵

۷. نتیجه‌گیری

الگوریتم‌های موقعیت‌یابی صوتی به دنبال حل معادلات حاصل از شرایط هندسی و اختلاف زمانی ناشی از آن، با استفاده از خطی‌سازی، افزایش تعداد میکروفون‌ها و متقارن‌سازی هستند. برای استفاده از این روش‌ها در شرایط واقعی، باید حساسیت آن‌ها را نسبت به وجود نویز و اختلال برسی نمود. با اضافه نمودن نویز به سیگنال ورودی در دو روش هیپربولیک و مثلثاتی و بررسی میزان